

О1

© 1993

ИССЛЕДОВАНИЕ ВЛИЯНИЯ ЭЛЕКТРИЧЕСКОГО ПОЛЯ НА  
ЭНЕРГЕТИЧЕСКИЙ СПЕКТР И ХАРАКТЕР ЛОКАЛИЗАЦИИ  
ЭЛЕКТРОНОВ В БЕСКОНЕЧНО ГЛУБОКОЙ ЯМЕ (В РАМКАХ  
МОДЕЛИ КРОНИНГА-ПЕННИ)

М.М. В у б е л ь

Влияние стационарного электрического поля на энергию заряженной частицы, заключенной в квантовой яме, подробно исследовалось в рамках приближения эффективной массы главным образом для основного (невозбужденного) состояния в одномерных потенциальных ямах различной глубины и ширины [1-3]. В настоящей работе подобное исследование проводится в рамках несколько более общей модели – для одномерной задачи Кронинга-Пенни. Так же как и в приближении эффективной массы, в нашем случае существует возможность исследовать точные решения уравнения Шредингера в стационарном электрическом поле (функции Эйри), при этом рассматриваемая модель учитывает взаимное влияние зон и остается законной как для областей энергий далеких от экстремумов зон, так и для больших полей.

Будем решать уравнение Шредингера для электрона в стационарном электрическом поле напряженности  $S$ :

$$-\frac{\hbar^2}{2m} \frac{d^2\psi(z)}{dz^2} - (E - |e|Sz - V(z))\psi(z) = 0, \quad (1)$$

где  $\psi(z)$  – волновая функция электрона,  $m$  – масса свободного электрона,  $e$  – заряд электрона,  $E$  – энергия частицы,  $V(z)$  – потенциал вида:

$$V(z) = \begin{cases} \infty & z \geq -NL/2 \\ \frac{\hbar^2}{2m} \frac{1}{L} \sum_{p=-N/2+1}^{N/2-1} \delta(z-pL) - NL/2 < z < z \leq NL/2, & \\ \infty & z \leq NL/2 \end{cases} \quad (2)$$

где  $N$  – целое число, равное числу ячеек Кронинга-Пенни в яме,  $L$  – ширина ячейки.

Из-за ограничения размеров рассматриваемой структуры каждая из разрешенных зон расщепляется на  $N$  дискретных уровней. Границные условия в точках  $z = \pm N/2$  имеют вид:

$$\psi(z = \pm 0.5NL) = 0. \quad (3)$$

Условия связи волновых функций и их первых производных в точках  $z = \rho L$  (на  $\delta$ -потенциалах) записываются следующим образом [4]:

$$\psi_j(z) = \psi_{j+1}(z), \quad (4)$$

$$\frac{\psi'_{j+1}(z) - \psi'_j(z)}{\psi_j(z)} = \frac{\Gamma}{L}.$$

Штрихованием в (4) и далее везде обозначено дифференцирование по аргументу функции. Индекс  $j$  меняется от  $I$  в левой граничной ячейке до  $n-I$  в предпоследней правой ячейке.

Решение уравнения (1) в области от  $-NL/2$  до  $NL/2$  представляет собой линейную комбинацию функций Эйри [5]

$$\psi_j(z) = \alpha_j Ai(z) + \beta_j Bi(z) \quad (5)$$

$$c \quad Z = -(2m/(e\hbar S^2))^{1/3} (E - |e|Sz).$$

Введем следующие нормированные величины:  $\hat{V} = V/E_0$ ,  $\hat{E} = E/E_0$ ,  $\hat{S} = |e|SL/E_0$ , где  $E_0 = (\hbar\pi/L)^2/2m$  – энергия первого уровня размежного квантования бесконечно глубокой ямы ширины  $L$ . К примеру, при  $L \approx 5 \text{ \AA}$  напряженности электрического поля в  $10 \text{ kV/cm}$  соответствует значение  $\hat{S} \approx 0.000325$ .

Значение  $Z$  на границах ямы и на границах ячеек модели Кроннинга-Пенни могут быть выражены следующим образом:

$$Z(z = \rho L) = -\left[\frac{\pi}{\hat{S}}\right]^{2/3} (\hat{E} - \rho \hat{S}), \quad -NL/2 \leq \rho \leq NL/2. \quad (6)$$

С учетом того, что  $Ai(z)Bi'(z) - Bi(z)Ai'(z) = \pi^{-1}$  и  $Z'(z) = I/L(\pi^2 \hat{S})^{1/3}$ , (4) преобразуется к виду (для  $z = \rho L$ ):

$$\alpha_j Ai(z) + \beta_j Bi(z) - \alpha_{j+1} Ai(z) - \beta_{j+1} Bi(z) = 0,$$

$$\frac{\beta_j}{Ai(z)} + \Gamma \left( \frac{\pi}{\hat{S}} \right)^{1/3} (\alpha_{j+1} Ai(z) + \beta_{j+1} Bi(z)) - \frac{\beta_{j+1}}{Ai(z)} = 0, \quad (7)$$

где  $j$  и  $\rho$  связаны соотношением  $\rho = j - N/2$ .

Система уравнений, составленная из  $2x(n-1)$  уравнений типа (7) (пара уравнений для каждого  $\delta$ -потенциала) и двух уравнений (3), является линейной однородной системой из  $2n$  уравнений относительно  $2n$  переменных  $\alpha_j$  и  $\beta_j$ . Нетривиальное решение для такой системы существует при условии, что ее определитель равен 0.

Некоторые результаты численного решения описанной системы для разных значений  $\hat{S}$  и  $\Gamma$ , характеризующие влияние стационар-

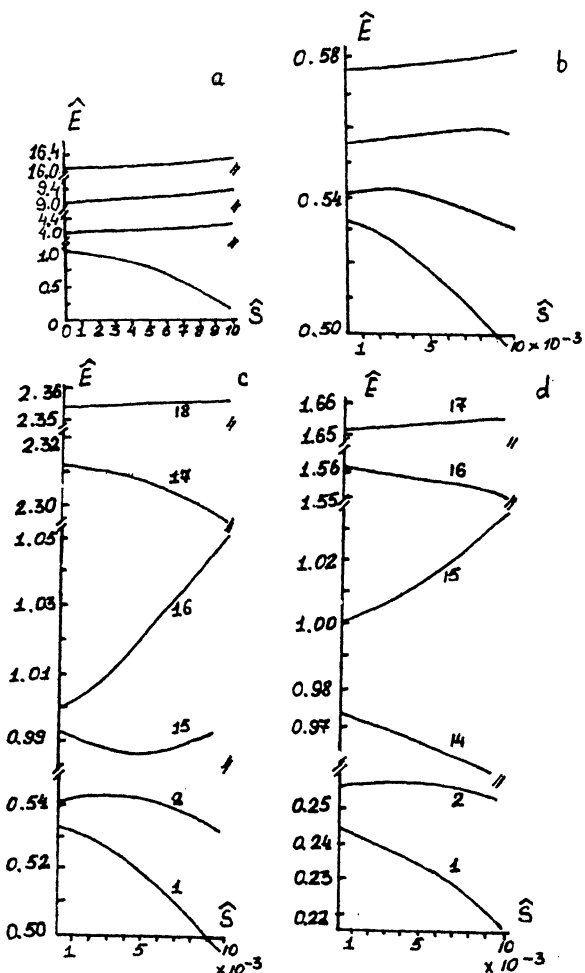


Рис. 1. Зависимость нормированной энергии  $\hat{E}$  от нормированной напряженности электрического поля  $\hat{S}$ ; а -  $N = 1$  (приближение эффективной массы); б -  $N = 15, \Gamma = 3$ ; в -  $N = 16, \Gamma = 10$ ; г -  $N = 15, \Gamma = 3$ . Цифры на рисунке соответствуют номеру уровня в дискретном ряду энергий (в порядке возрастания, начиная с 1).

ногого электрического поля на характеристики электрона, находящегося внутри квантовой ямы типа (2), приведены на рис. 1, 2.

Энергии уровней, соответствующих в приближении эффективной массы невозбужденным состояниям (самые низкие и самые высокие по значению энергии уровни в каждой из разрешенных зон),

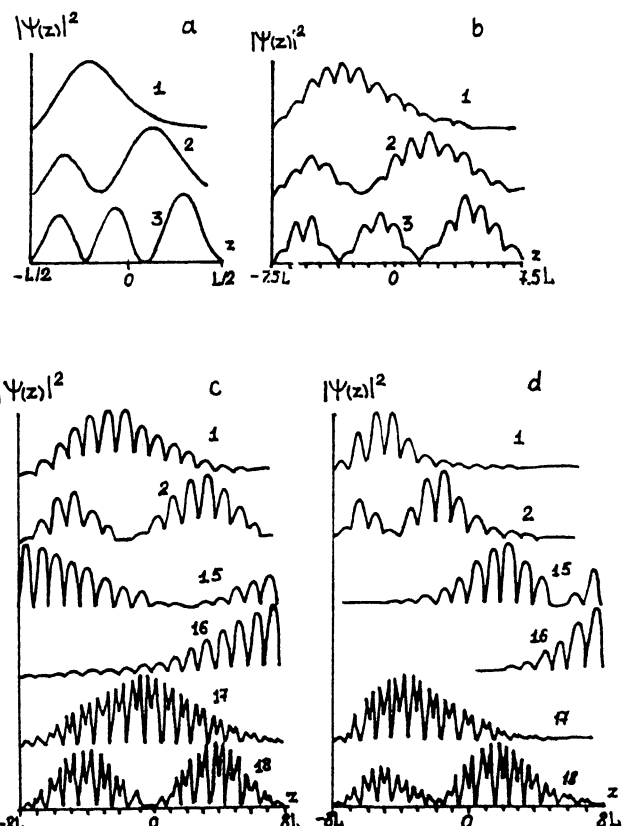


Рис. 2. Нормированная на свое максимальное значение плотность вероятности  $|\Psi(z)|^2$  для разных  $\Gamma$ ,  $\hat{S}$ ,  $N$  (максимум  $|\Psi(z)|^2$  свой для каждого нового  $\hat{E}$  и  $\hat{S}$ ); а –  $N = 1$ ,  $\hat{S} = 9$ ; б –  $N = 15$ ,  $\Gamma = 3$ ,  $\hat{S} = 0.003$ ; в –  $N = 16$ ,  $\Gamma = 10$ ,  $\hat{S} = 0.001$ ; г –  $N = 16$ ,  $\Gamma = 10$ ,  $\hat{S} = 0.01$ . Цифры на рисунке соответствуют номеру уровня в дискретном ряду энергий (в порядке возрастания, начиная с 1).

являются монотонными функциями напряженности электрического поля. Энергия уровней дна зоны уменьшается, а энергия уровней вершины зоны растет с ростом  $S$  (в настоящей работе исследовалась решетка Кронинга-Пенни с параметром  $\Gamma > 0$ ) (рис. 1). Аналогичные результаты получены в рамках моделей эффективной массы для электронов и дырок соответственно. [3].

Вместе с энергией изменяется и характер распределения вероятности  $|\Psi(z)|^2$  (рис. 2). Зависимость  $|\Psi(z)|^2$  от напряженности электрического поля, присущая состояниям дна и вершин разрешенных зон, представляется достаточно естественной. Если

прибегнуть к классической аналогии, то перераспределение под действием поля  $|\psi(z)|^2$  для экстремумов зон можно связать с движением электронов (дно зоны) в направлении, противоположном приложенному полю, и дырок (вершина зоны) в направлении, совпадающем с направлением приложения поля. Но для остальных уровней зоны такая аналогия оказывается совершенно неприменимой. Обсудим это на примере рис. 1, c, 2, c, d для уровня, помеченного цифрой 2 (возбужденного уровня, ближайшего ко дну первой зоны). В зависимости  $\hat{E}_2(\hat{S})$  могут быть выделены два участка. На первом  $\hat{E}_2$  растет с ростом  $\hat{S}$ . Для  $|\psi(z)|^2$  это отражается в увеличении одного из максимумов огибающей в сравнении с другим (усилився максимум, расположенный в той половине ямы, энергия дна которой увеличивается в электрическом поле) – рис. 2, c. Если вновь прибегнуть к классической аналогии, то можно сказать, что электрон, находящийся на втором энергетическом уровне, „сместился” в сравнении с электроном на основном уровне в противоположную сторону. Ситуация меняется с дальнейшим ростом  $\hat{S}$ , когда вместе с дальнейшим ростом левого максимума огибающей становится существенным смещение этого максимума в направлении действия поля (рис. 2, d). Аналогичные черты прослеживаются и в поведении „дырок” (верхняя половина зоны).

На рис. 2, b содержится еще несколько примеров зависимостей  $|\psi(z)|^2$  в электрическом поле для ямы с другими значениями  $N$  и  $\Gamma$ .

Еще одно замечание касается того, что экстремум  $\hat{E}(\hat{S})$  расположен при тем больших значениях  $\hat{S}$ , чем дальше расположена энергия уровня от экстремума зоны (рис. 1, b).

Приведенные результаты свидетельствуют о том, что влияние электрического поля на заряженную частицу внутри бесконечно глубокой ямы проявляется совершенно различным образом в зависимости от того, находится ли электрон у дна, у вершины зоны или в возбужденном состоянии.

Отметим в заключение, что нет смысла рассчитывать на полную аналогию решенной задачи с реальными структурами. Это всего лишь одномерная точно решаемая модель, позволяющая сделать некоторые общие выводы и исследовать некоторые общие закономерности влияния электрического поля на ограниченные квантовые структуры.

#### Список литературы

- [1] Miller D.A.B., Chema P.S., Dament C., Gossard A.C., Wittman W., Wood T.H., Burrus C.A. // Phys. Rev. B. 1985. V. 32. N 2. P. 1043–1060.
- [2] Austin E.J., Jaros M. // Phys. Rev. B. 1985. V. 31. N 8. P. 5569–5572.

- [3] Ahn D., Chuang S.L. // Phys. Rev. B. 1986. V. 34. N 12. P. 9034–9037.
- [4] Флаге З. Задачи по квантовой механике. Т. 1. М.: Мир, 1974. 341 с.
- [5] Справочник по специальным функциям с формулами, графиками и математическими таблицами (под редакцией М. Абрамовича и И.А. Стигун). М.: Наука, 1979. 832 с.

Белорусский государственный  
университет

Поступило в Редакцию  
2 февраля 1992 г.